



UNIVERSIDAD  
**NACIONAL DEL OESTE**

---

## Explotación de Datos

### ACTIVIDAD N<sup>o</sup> 5

#### *Análisis de Serie Temporal*

#### PROFESORES:

*Dejean, Gustavo*  
*Españadero, Juan*  
*Mendoza, Dante*

#### INTEGRANTES GRUPO B:

*Benitez, Nicolas*  
*Garcia Ravlic, Ignacio Agustin*  
*Rechimon, Pablo Hernan*  
*Rodríguez, Miguel Ángel*

#### FECHA DE ENTREGA:

*7 de Noviembre de 2020*

# Resumen

A partir de el lenguaje R y los datos obtenidos del gobierno, acerca de el personal de servicios informaticos con medidas relativas, hemos realizado un analisis de su evolucion en el tiempo con el objetivo de desarrollar un modelo de prediccion con gran precision y bajo margen de error, para esto desarrollamos multiples modelos, los pusimos a prueba, los calibramos y los comparamos para asi quedarnos con el que mejor resultados nos dio, siendo este el desarrollado con *Prophet*.

**Palabras Clave:** *Analisis de Datos - Ciencia de Datos - Modelo Predictor - Lenguaje R - Time Series*

---

# Índice

<b>1</b>	<b>Introducción</b>	<b>1</b>
1.1	Problemática	1
1.2	Datos a utilizar	1
1.3	Objetivo	1
<b>2</b>	<b>Desarrollo</b>	<b>2</b>
2.1	Análisis de los datos	2
2.2	Preparación de los datos	2
2.3	Análisis de las series temporales	2
2.3.1	Descomposición	3
2.3.2	Diferencias	8
2.3.3	Autocorrelaciones	12
2.3.4	Diferencias con Retraso	13
2.4	Creación del Modelo	17
2.4.1	Dividir datos	17
2.4.2	Crear modelos	17
2.4.3	Crear tabla de modelos	17
2.4.4	Calibrar modelos	17
2.4.5	Probamos los modelos	17
2.4.6	Reajuste	18
<b>3</b>	<b>Conclusión</b>	<b>20</b>
<b>4</b>	<b>Anexo</b>	<b>21</b>
4.1	Código en R	21

## Graficos

Fig. 1	Contenido del Dataset	2
Fig. 2	Evolución en el tiempo	3
Fig. 3	Descomposición del personal ocupado	4
Fig. 4	Descomposición del personal asalariado	5
Fig. 5	Descomposición del personal no asalariado	6
Fig. 6	Tendencia y Estacionalidad	7
Fig. 7	Diferencias del Personal Ocupado	8
Fig. 8	Boxplot de Diferencias del Personal Ocupado	9
Fig. 9	Diferencias del Personal Asalariado	9
Fig. 10	Boxplot de Diferencias del Personal Asalariado	10
Fig. 11	Diferencias del Personal No Asalariado	10
Fig. 12	Boxplot de Diferencias del Personal No Asalariado	11
Fig. 13	Autocorrelaciones del Personal Ocupado	12
Fig. 14	Autocorrelaciones del Personal Asalariado	12
Fig. 15	Autocorrelaciones del Personal No Asalariado	13
Fig. 16	Diferencias con lag 4 del Personal Ocupado	14
Fig. 17	ADF Test Personal Ocupado	14

Fig. 18	KPSS Test Personal Ocupado . . . . .	14
Fig. 19	Diferencias con lag 4 del Personal Asalariado . . . . .	15
Fig. 20	ADF Test Personal Asalariado . . . . .	15
Fig. 21	KPSS Test Personal Asalariado . . . . .	15
Fig. 22	Diferencias con lag 4 del Personal No Asalariado . . . . .	16
Fig. 23	ADF Test Personal No Asalariado . . . . .	16
Fig. 24	KPSS Test Personal No Asalariado . . . . .	16
Fig. 25	Modelos de predicción . . . . .	18
Fig. 26	Presición de los modelos de predicción . . . . .	18
Fig. 27	Modelos de predicción reajustados . . . . .	19
Fig. 28	Modelo predictor Prophet . . . . .	20

# 1 Introducción

## 1.1 Problemática

Se realiza un estudio de la evolución relativa en el tiempo de la tasa del personal asalariado, no asalariado y ocupado del sector de servicios informáticos en la Ciudad de Buenos Aires.

## 1.2 Datos a utilizar

Utilizaremos el dataset *Personal ocupado, asalariado y no asalariado del sector servicios informáticos. Ciudad de Buenos Aires. Primer trimestre de 2008/segundo trimestre de 2020.*, provisto por Estadística y censos de la ciudad de Buenos Aires.

## 1.3 Objetivo

Mediante el análisis de series temporales queremos determinar cual es el mejor modelo predictor. Esto incluye, aquel modelo que mejor prediga la realidad, y contenga el margen de error más pequeño.

## 2 Desarrollo

### 2.1 Análisis de los datos

Nuestro dataset contiene 4 variables con 50 filas:

- Periodo. Cada año está dividido en cuartos.
- Personal ocupado. Personas remuneradas y no remuneradas contribuyentes por su trabajo de producción de bienes y servicios.
- Personal asalariado. Trabajan en relación de dependencia por un sueldo
- Personal no asalariado. Trabajan sin obtener sueldo (propietarios, pasantes, familiares)

La primer fila de las 3 variables tienen un valor de 1, siendo esta la referencia para las demás medidas realizadas.

	Período	Personal ocupado	Personal asalariado	Personal no asalariado
1	Q1/08	1.0000000	1.0000000	1.0000000
2	Q2/08	1.0143980	1.0084151	1.0785770
3	Q3/08	1.0172508	1.0173944	1.0154282
4	Q4/08	1.0159967	1.0140340	1.0369118
5	Q1/09	0.9660764	0.9806561	0.8099784
6	Q2/09	1.0220705	1.0292104	0.9455017
7	Q3/09	0.9864504	0.9910203	0.9371410
8	Q4/09	0.9350177	0.9331504	0.9551600
9	Q1/10	0.9381656	0.9354357	0.9675606
10	Q2/10	1.2175090	1.2138968	1.2561981

Fig. 1: Contenido del Dataset

### 2.2 Preparación de los datos

Preparamos los datos en base a nuestros requerimientos:

- Eliminamos los na con la función *na.omit()*
- Transformamos los datos en una serie temporal de 3 cadenas.

### 2.3 Análisis de las series temporales

Realizamos el plot de la serie temporal del conjunto de datos



Fig. 2: Evolución en el tiempo

Se puede visualizar que la serie del personal ocupado y personal asalariado se asemejan, siguen un mismo patrón a lo largo del tiempo y a partir del 2012 se puede observar una forma estacionaria, no sucede lo mismo con la serie del personal no asalariado que presenta una forma más irregular, teniendo variados y grandes altibajos.

### 2.3.1 Descomposición

Descomponemos la serie de las tres cadenas para analizar sus componentes

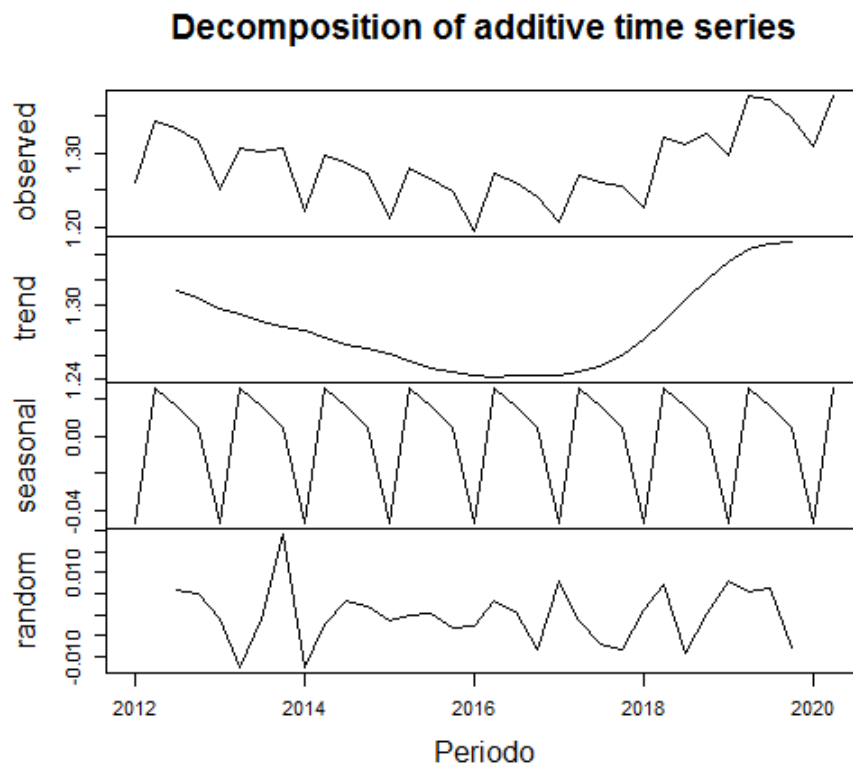


Fig. 3: Descomposición del personal ocupado

Se puede visualizar que la serie del personal ocupado presenta una tendencia no muy marcada, una estacionalidad bien definida con picos y bajadas a lo largo del tiempo y el ruido algo irregular



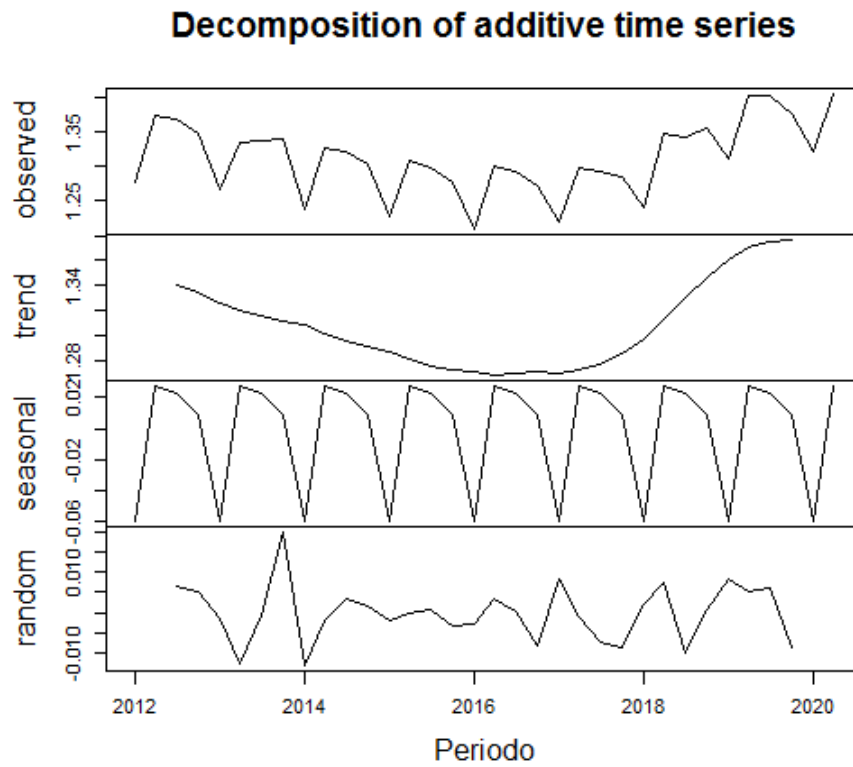


Fig. 4: Descomposición del personal asalariado

Se puede visualizar que la descomposición del personal asalariado es muy parecida a la anterior, el personal ocupado, sin una tendencia marcada, una estacionalidad bien definida y ruido mas bien irregular

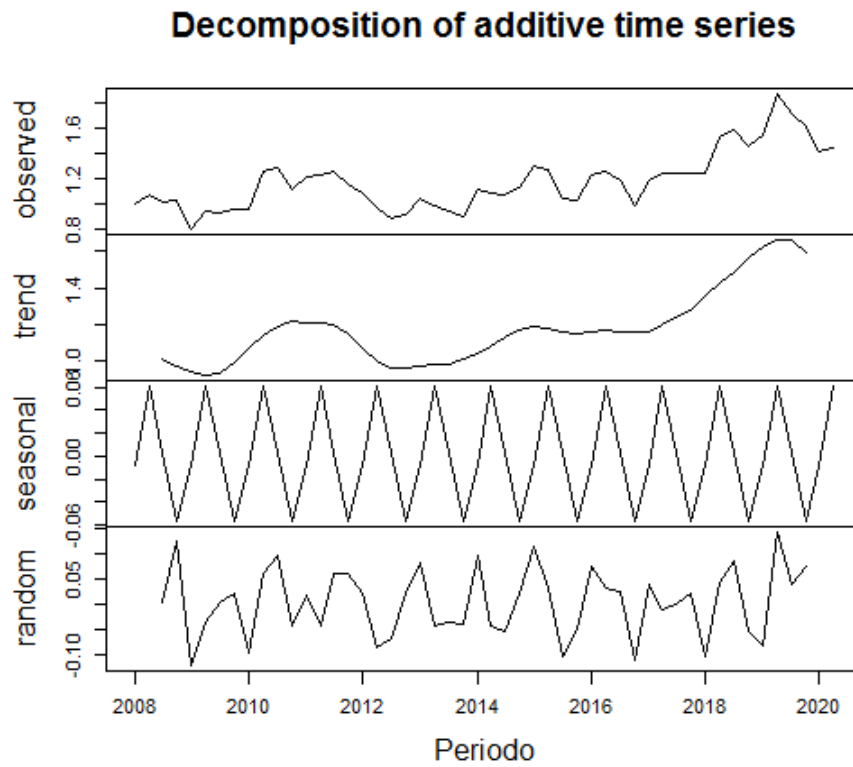


Fig. 5: Descomposición del personal no asalariado

Se puede visualizar que las componentes del personal no asalariado tiene una tendencia ascendente a lo largo del periodo, una estacionalidad bien marcada y un ruido bastante constante

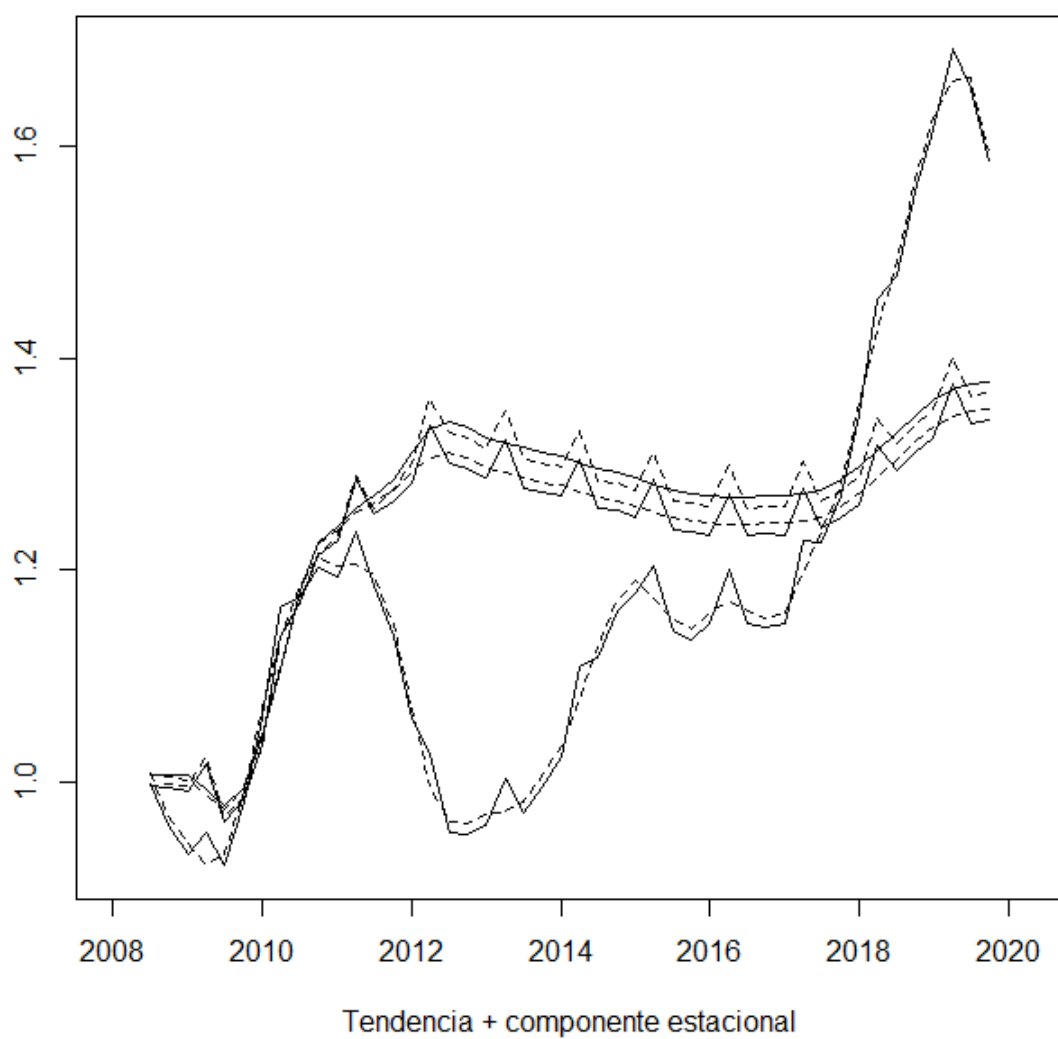


Fig. 6: Tendencia y Estacionalidad

### 2.3.2 Diferencias

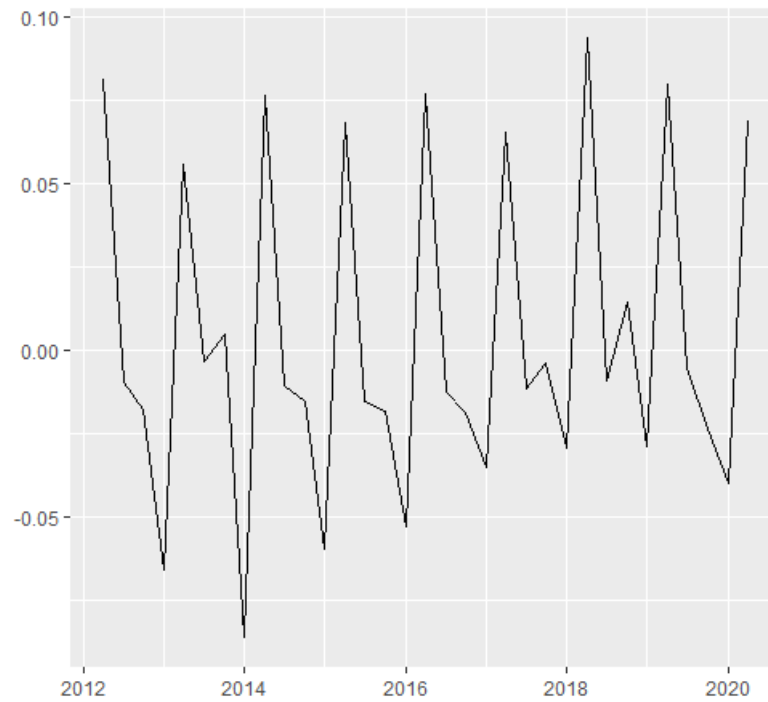


Fig. 7: Diferencias del Personal Ocupado

Podemos observar que las diferencias se encuentran entre el -0.1 y 0.1, viendo que los picos altos siempre pertenecen al primer cuarto y los mas bajos al ultimo cuarto, indicando asi una posible estacionalidad.

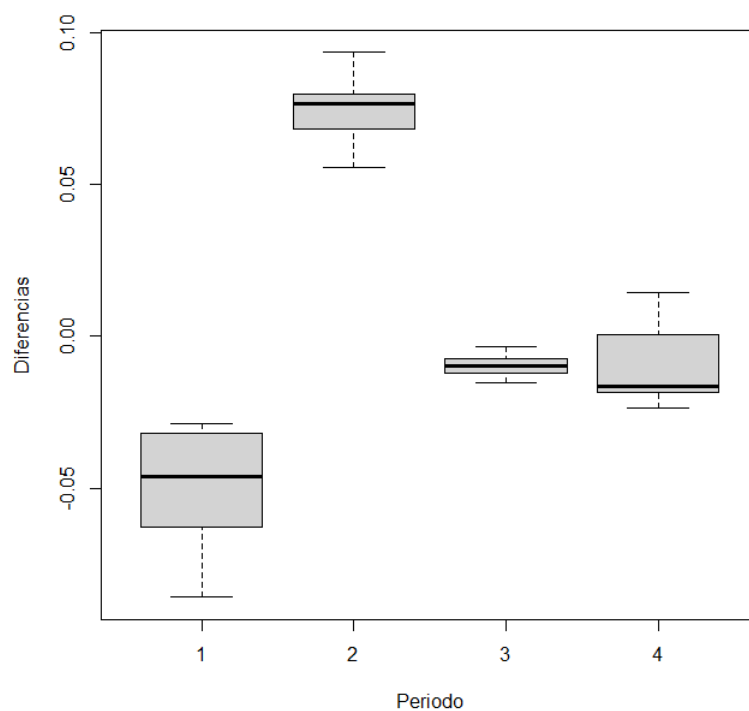


Fig. 8: Boxplot de Diferencias del Personal Ocupado

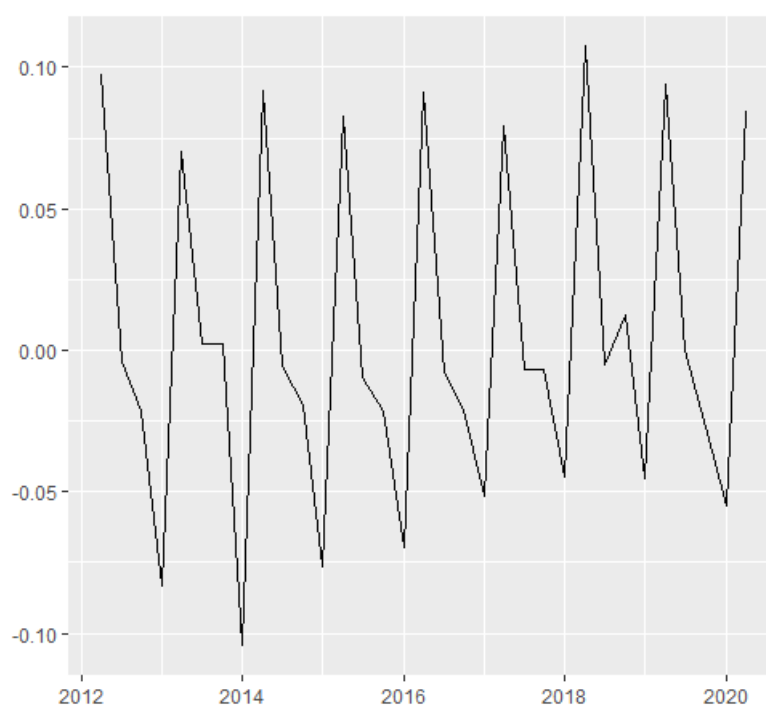


Fig. 9: Diferencias del Personal Asalariado

Podemos observar al igual que en el anterior gráfico que las diferencias se encuentran entre el -0.1 y 0.1, y que como era de esperar, el patrón de los picos es muy similar.

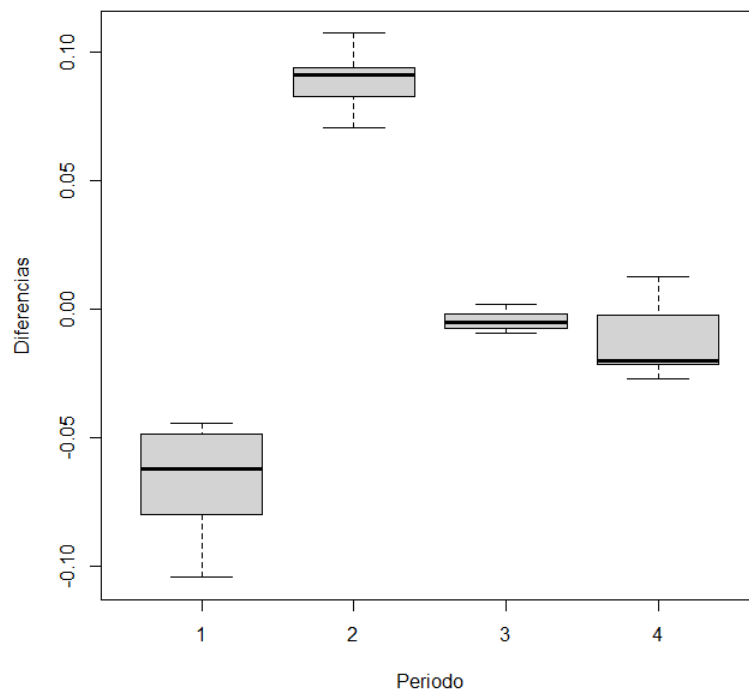


Fig. 10: Boxplot de Diferencias del Personal Asalariado

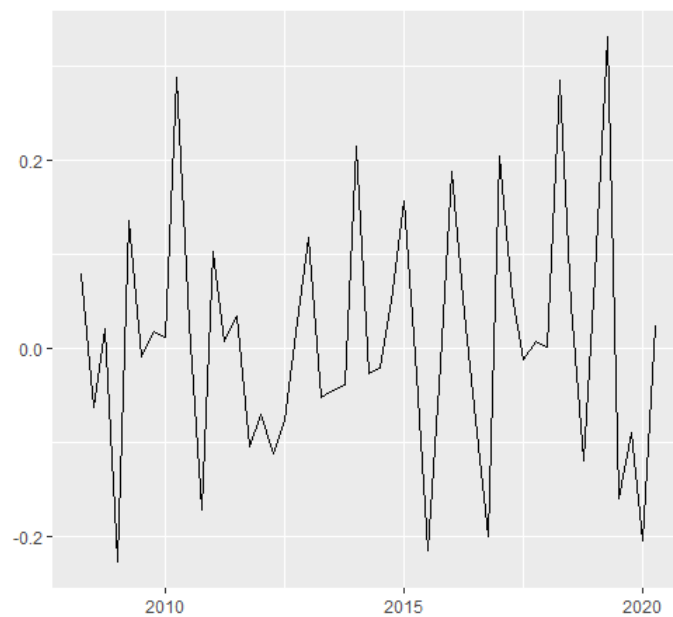


Fig. 11: Diferencias del Personal No Asalariado

Ya para este último caso vemos que las diferencias son aun mayores, y que no es posible observar algún patrón entre sus picos, dandonos un indicio en que esta serie no es estacional.

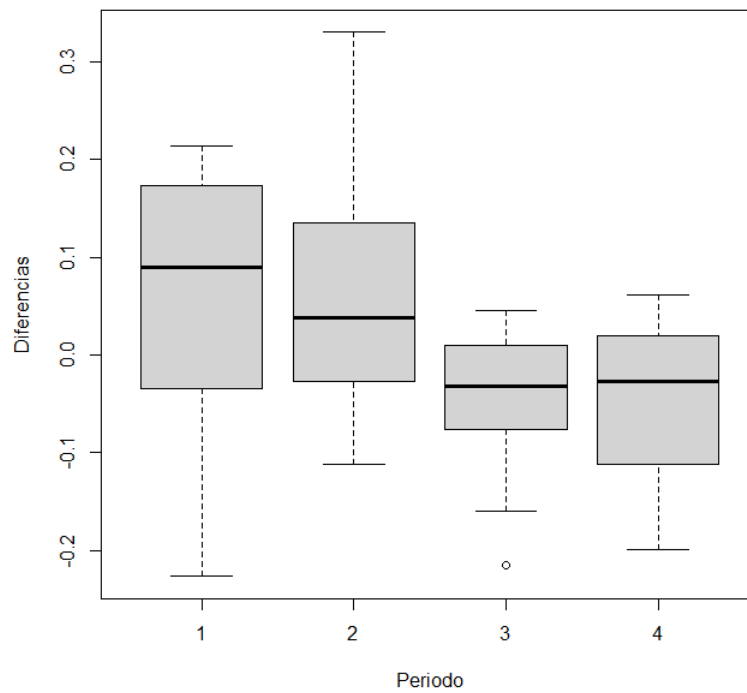


Fig. 12: Boxplot de Diferencias del Personal No Asalariado

### 2.3.3 Autocorrelaciones

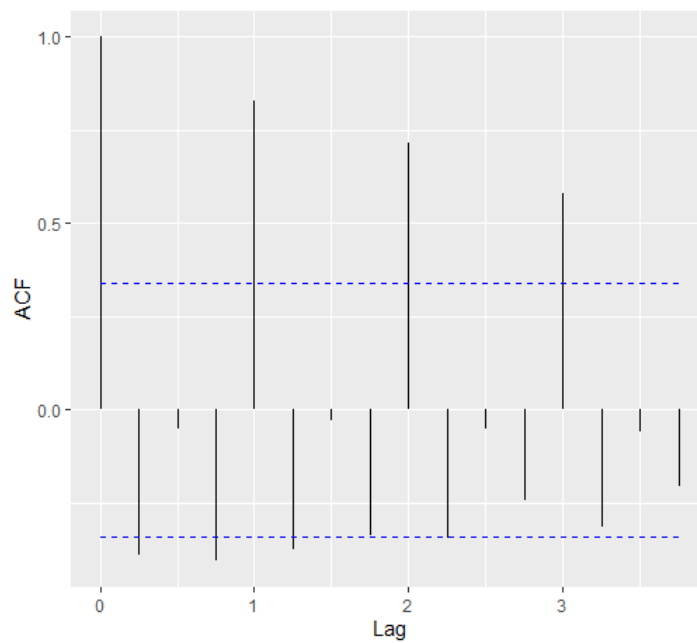


Fig. 13: Autocorrelaciones del Personal Ocupado

Se observa como los primeros cuatros tienen una alta autocorrelación, confirmandonos de que esta serie es estacional.

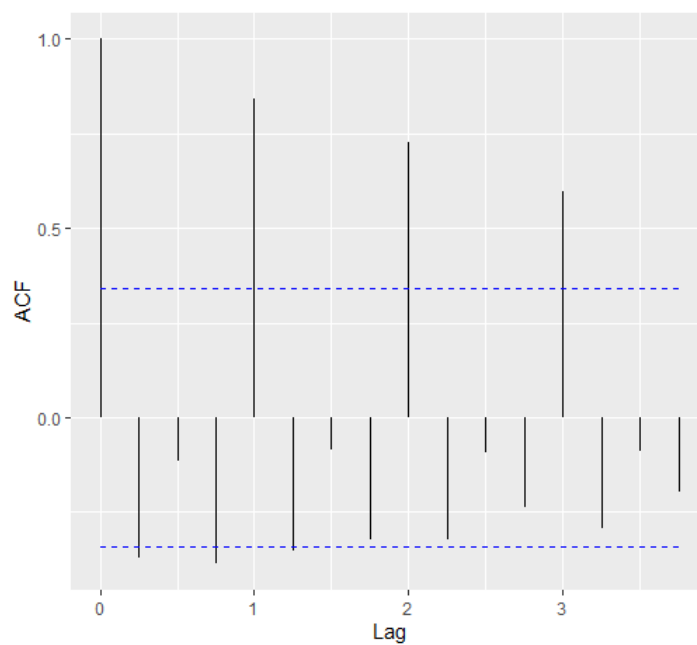


Fig. 14: Autocorrelaciones del Personal Asalariado

Como era de esperarse, podemos observar como al igual que la anterior serie



los primeros picos presentan una alta autocorrelación, indicando que la serie es estacional.

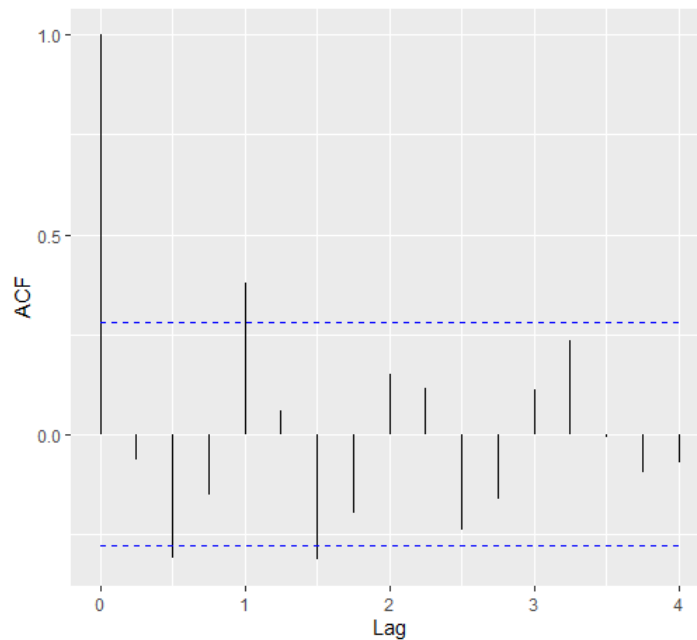


Fig. 15: Autocorrelaciones del Personal No Asalariado

En esta serie vemos como no hay suficiente autorrelación para determinar que la serie es estacional, tal como lo veníamos deduciendo anteriormente, esta serie no es estacional.

#### 2.3.4 Diferencias con Retraso

Aplicamos un retraso de 4 para calcular las diferencias de acuerdo a la estacionalidad

También realizamos el Test ADF, el cual su Hipótesis Nula es de que la serie temporal NO es estacionaria. Y el Test de KPSS nos indica lo contrario, la serie temporal es estacionaria ya que posee raíz unitaria.

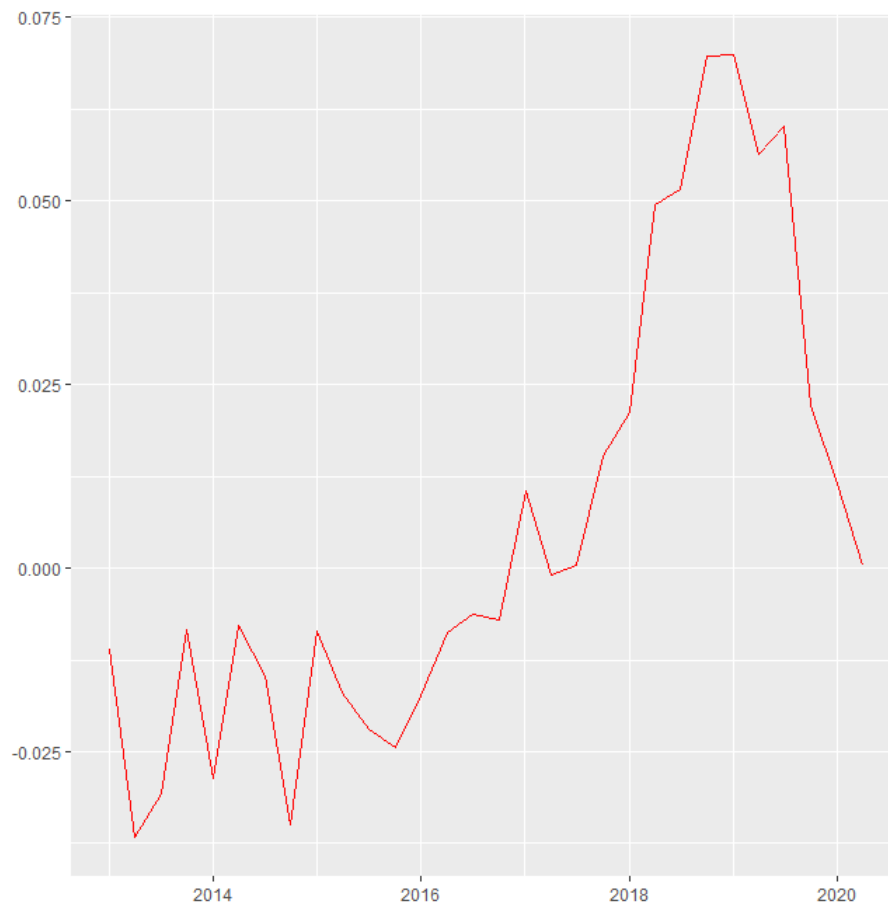


Fig. 16: Diferencias con lag 4 del Personal Ocupado

```
Augmented Dickey-Fuller Test
data: diff.cadena_1.ts.4
Dickey-Fuller = -3.3717, Lag order = 3, p-value = 0.08002
alternative hypothesis: stationary
```

Fig. 17: ADF Test Personal Ocupado

Este resultado nos indica que la serie posee raíz unitaria, aunque el p-value es muy cercano al límite para rechazar la hipótesis nula.

```
KPSS Test for Level Stationarity
data: diff.cadena_1.ts.4
KPSS Level = 0.76416, Truncation lag parameter = 2, p-value = 0.01
```

Fig. 18: KPSS Test Personal Ocupado

Se rechaza la hipótesis nula, la serie no es estacionaria.

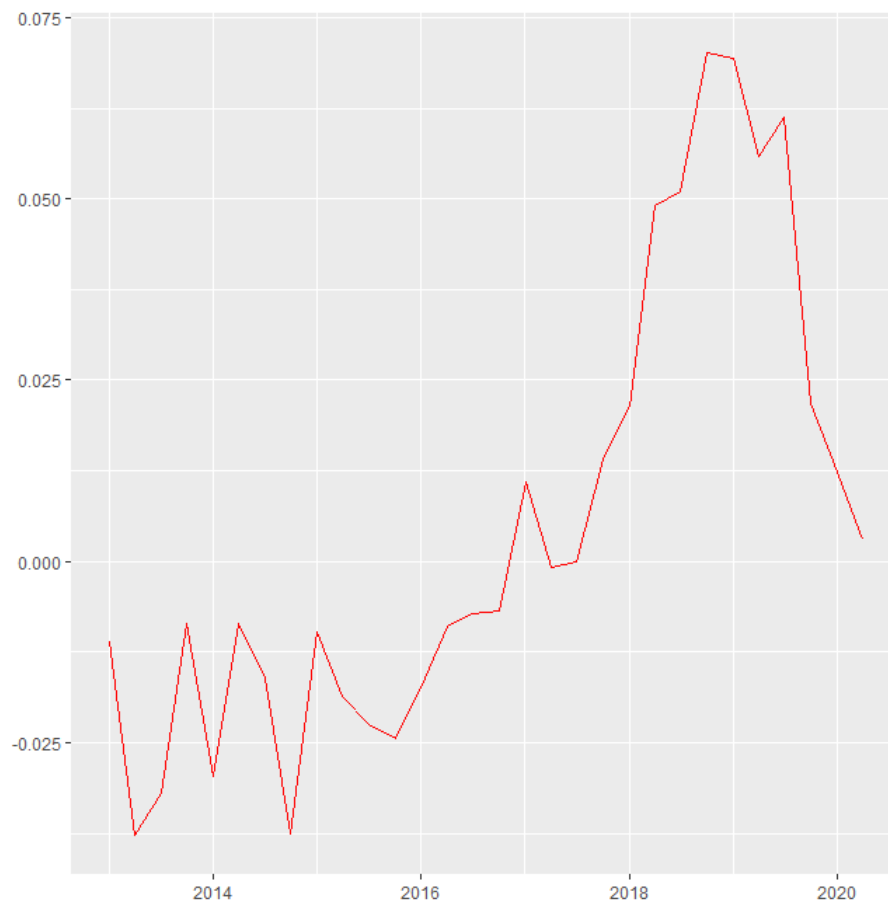


Fig. 19: Diferencias con lag 4 del Personal Asalariado

```
Augmented Dickey-Fuller Test
data: diff.cadena_2.ts.4
Dickey-Fuller = -3.3055, Lag order = 3, p-value = 0.08938
alternative hypothesis: stationary
```

Fig. 20: ADF Test Personal Asalariado

No se puede rechazar la hipótesis nula, al igual que en la anterior serie, nos indica que no es estacionaria.

```
KPSS Test for Level stationarity
data: diff.cadena_2.ts.4
KPSS Level = 0.77889, Truncation lag parameter = 2, p-value = 0.01
```

Fig. 21: KPSS Test Personal Asalariado

Se rechaza la hipótesis nula, la serie no es estacionaria.

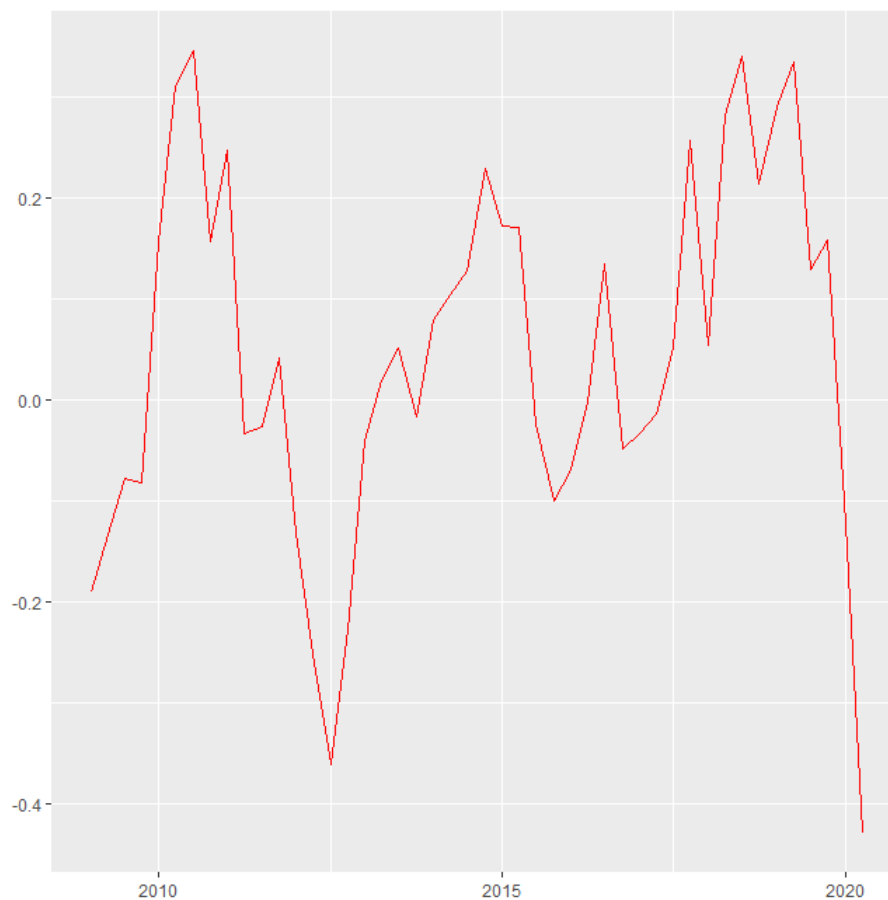


Fig. 22: Diferencias con lag 4 del Personal No Asalariado

```
Augmented Dickey-Fuller Test
data: diff.cadena_3.ts.4
Dickey-Fuller = -3.0296, Lag order = 3, p-value = 0.1646
alternative hypothesis: stationary
```

Fig. 23: ADF Test Personal No Asalariado

No se puede rechazar la hipótesis nula, nos indicándonos que no es estacionaria.

```
KPSS Test for Level Stationarity
data: diff.cadena_3.ts.4
KPSS Level = 0.13333, Truncation lag parameter = 3, p-value = 0.1
```

Fig. 24: KPSS Test Personal No Asalariado

No se puede rechazar la hipótesis nula, indicando que la serie es estacionaria alrededor de una tendencia determinista.

## 2.4 Creación del Modelo

### 2.4.1 Dividir datos

Como primer paso para la creación del modelo utilizamos la función *initial time split* para dividir nuestros datos en un subset de entrenamiento y otro para probar la calidad del modelo

### 2.4.2 Crear modelos

Empezamos a crear diferentes modelos, como el *Auto Arima*, *Arima XGBoost*, *ETS*, *Prophet*, *Mars* y *Linear Reg*

### 2.4.3 Crear tabla de modelos

Agrupamos todos los modelos en una tabla con la función *modeltime table* para aplicar las calibraciones y reajustes en simultáneos

### 2.4.4 Calibrar modelos

A partir de la función *modeltime calibrate* y la tabla de modelos realizamos la calibración de los modelos

### 2.4.5 Probamos los modelos

Realizamos la predicción y contrastamos con la realidad, esto gracias a la función *modeltime forecast*. Y luego graficamos los resultados de cada modelo, con su predicción.

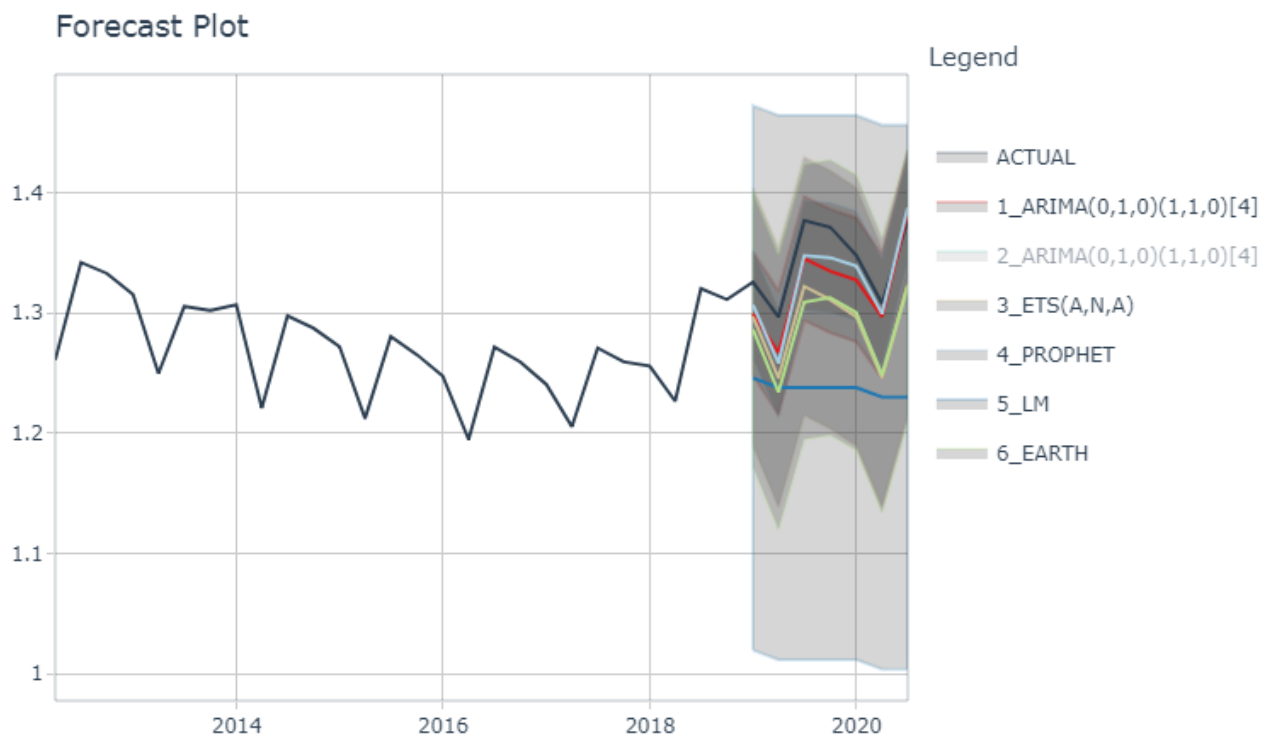


Fig. 25: Modelos de predicción

Y con la función *modeltime accuracy* evaluamos el porcentaje de acierto y demás medidas que nos hablan de la confiabilidad del modelos. Mostramos en forma de tabla tales medidas

Search									
↑.model_id	.model_desc	↑.type	↑mae	↑mape	↑mase	↑smape	↑rmse	↑rsq	
1	ARIMA(0,1,0)(1,1,0)[4]	Test	0.02	1.72	0.56	1.74	0.03	0.85	
2	ARIMA(0,1,0)(1,1,0)[4]	Test	0.02	1.72	0.56	1.74	0.03	0.85	
3	ETS(A,N,A)	Test	0.05	3.85	1.26	3.93	0.05	0.89	
4	PROPHET	Test	0.02	1.49	0.49	1.5	0.02	0.87	
5	LM	Test	0.11	7.87	2.59	8.22	0.11	0.01	
6	EARTH	Test	0.06	4.13	1.35	4.22	0.06	0.92	

Fig. 26: Presición de los modelos de predicción

#### 2.4.6 Reajuste

Por ultimo hacemos un reajuste de los datos con la función *modeltime refit* y a partir de esto volvemos a realizar la predicción del modelo

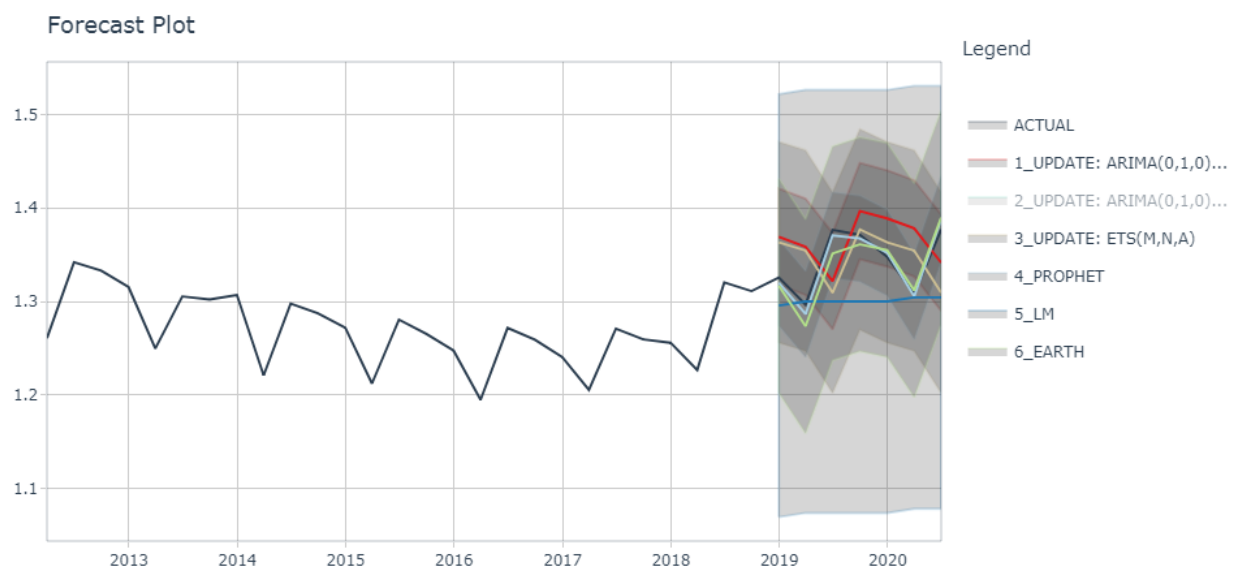


Fig. 27: Modelos de predicción reajustados

### 3 Conclusión

Luego de lo desarrollado podemos concluir que el mejor modelo para predecir la tasa de personal ocupado en el proximo cuardo de año es el obtenido con *Prophet*, ya que tiene una alta precision y una muy pequeña incertidumbre

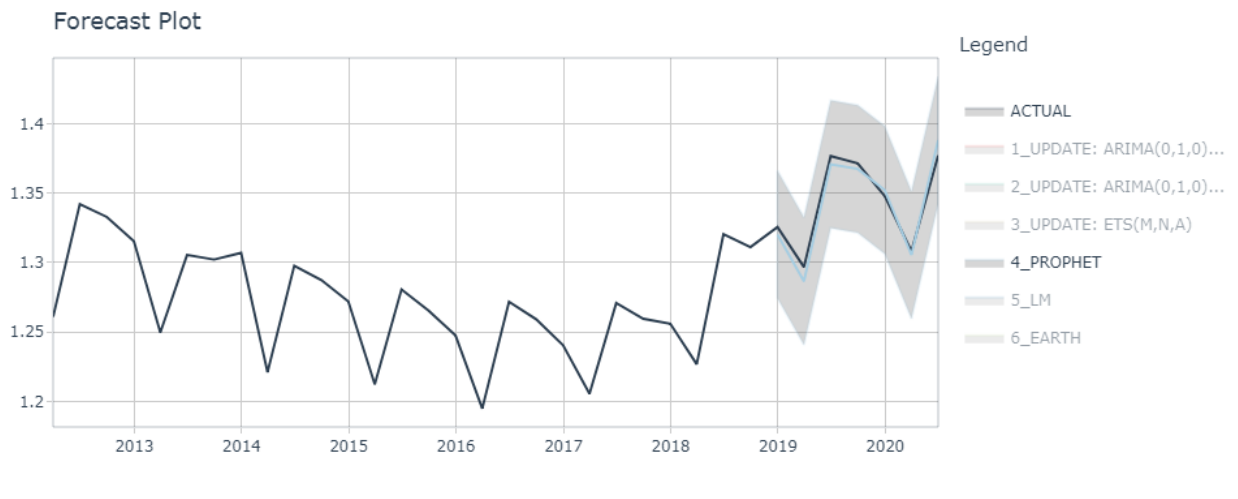


Fig. 28: Modelo predictor Prophet



## 4 Anexo

### 4.1 Código en R

```

1 #####
2 # Time Series
3 # Actividad 5
4 #
5 # Creator : Group B - Benitez, Garcia, Rodriguez, Rechimon
6 #
7 # Create date: 2020/10/29
8 # Update date: 2020/11/6
9 #      comment: comentarios
10 #####
11
12 ##-----START LIBRARIES
13 library(readxl)
14 library(ggfortify)
15 library(scales)
16 library(forecast)
17 library(tseries)
18
19 library(tidymodels)
20 library(modeltime)
21 library(tidyverse)
22 library(lubridate)
23 library(timetk)
24 library(earth)
25 library(zoo) # Para trabajar cuartos como date
26
27 library(rsample)
28 ##-----END LIBRARIES
29
30
31 ##-----START READ DATA
32 datos <- read_excel("SINF_POcup_0810.xlsx", skip = 1)
33 ##-----END READ DATA
34
35
36 ##-----START PROCESS DATA
37 datos <- na.omit(datos)
38 head(datos, 5)
39
40 # Transformamos los datos en una serie temporal
41 cadenas.ts <- ts(datos[, 2:4], start = c(2008,1), frequency = 4)
42
43 cadena_1.ts <- ts(datos[17:50, 2], start = c(2012,1), frequency =
44   4)
45 cadena_2.ts <- ts(datos[17:50, 3], start = c(2012,1), frequency =
46   4)
47 cadena_3.ts <- ts(datos[, 4], start = c(2008,1), frequency = 4)
48
49 # Plots

```

```

49 # Serie Temporal de las 3 cadenas juntas y por separado
50 autoplot(cadenas.ts, xlab = "Periodo", ylab = "Tasa")
51
52 # Tomamos desde 2012 hasta la fecha
53 autoplot(cadena_1.ts, colour = "blue", linetype = "dashed")
54 autoplot(cadena_2.ts, colour = "blue", linetype = "dashed")
55
56 autoplot(cadena_3.ts, colour = "blue", linetype = "dashed")
57
58
59 # Descomponemos las series
60 desc.cadena_1 <- decompose(cadena_1.ts)
61 plot(desc.cadena_1, xlab = 'Periodo')
62
63 desc.cadena_2 = decompose(cadena_2.ts)
64 plot(desc.cadena_2, xlab = 'Periodo')
65
66 desc.cadena_3 = decompose(cadena_3.ts)
67 plot(desc.cadena_3, xlab = 'Periodo')
68
69
70 # obtener la tendencia y la componente estacional
71 desc.cadena = decompose(cadenas.ts)
72
73 sTrend = desc.cadena$trend
74 sSeasonal= desc.cadena$seasonal
75 ts.plot(cbind(sTrend,sTrend + sSeasonal),xlab='Tendencia +
    componente estacional', lty=2:1)
76
77 # Numero estimado de diferencias requeridas para realizar una ST
    estacionaria
78 # Prueba de raiz unitaria para identificar si la serie es
    estacionaria
79 ndiffs(cadena_1.ts) ## [1] 1 desde 2008 a la fecha | 0 desde 2012
    a la fecha
80 nsdiffs(cadena_1.ts) ## [1] 1 desde 2008 a la fecha | 1 desde 2012
    a la fecha
81
82 ndiffs(cadena_2.ts) ## [1] 1 desde 2008 a la fecha | 0 desde 2012
    a la fecha
83 nsdiffs(cadena_2.ts) ## [1] 1 desde 2008 a la fecha | 1 desde 2012
    a la fecha
84
85 ndiffs(cadena_3.ts) ## [1] 1
86 nsdiffs(cadena_3.ts) ## [1] 0
87
88 # Remueve la tendencia y compara el ruido con la estacionalidad
89 diff.cadena_1.ts <- autoplot(diff(cadena_1.ts))
90 diff.cadena_1.ts
91 boxplot(diff(cadena_1.ts) ~ cycle(diff(cadena_1.ts)), xlab = "
    Periodo", ylab = "Diferencias")
92
93 diff.cadena_2.ts<-autoplot(diff(cadena_2.ts))
94 diff.cadena_2.ts
95 boxplot(diff(cadena_2.ts) ~ cycle(diff(cadena_2.ts)), xlab = "
    Periodo", ylab = "Diferencias")

```

```

96
97 diff.cadena_3.ts<-autoplot(diff(cadena_3.ts))
98 diff.cadena_3.ts
99 boxplot(diff(cadena_3.ts) ~ cycle(diff(cadena_3.ts)), xlab = "
    Periodo", ylab = "Diferencias")
100
101 # Autocorrelation Function:
102 # Visualizamos que tan correlacionado se encuentra el ltimo valor
    con el pasado (LAG)
103 # Si la serie es estacional, la autocorrelación sera muy alta para
    retrasos multiples
104 # de la frecuencia
105 autoplot(acf(cadena_1.ts, plot = FALSE))
106 autoplot(acf(diff(cadena_1.ts), plot = FALSE))
107
108 autoplot(acf(cadena_2.ts, plot = FALSE))
109 autoplot(acf(diff(cadena_2.ts), plot = FALSE))
110
111 autoplot(acf(cadena_3.ts, plot = FALSE))
112 autoplot(acf(diff(cadena_3.ts), plot = FALSE))
113
114 # Partial ACF
115 # .Permite visualizar cuando determinados retrasos (LAG) son buenos
    para el modelo,
116 # tiles para data estacional
117 # .Remueve la dependencia de lags en otros lags utilizando la
    correlación de los
118 # residuos
119
120 autoplot(acf(cadena_1.ts, plot = FALSE))
121 autoplot(pacf(diff(cadena_1.ts), plot = FALSE))
122 autoplot(acf(cadena_2.ts, plot = FALSE))
123 autoplot(pacf(diff(cadena_2.ts), plot = FALSE))
124 autoplot(acf(cadena_3.ts, plot = FALSE))
125 autoplot(pacf(diff(cadena_3.ts), plot = FALSE))
126
127 # Se agrega Lag determinado por el ACF para ver nuevamente la serie
    sin tendencia
128 diff.cadena_1.ts.4<-diff(cadena_1.ts, lag = 4)
129 autoplot(diff.cadena_1.ts.4, ts.colour = "red")
130 ##
131 sd(diff(cadena_1.ts, lag = 4))
132 summary(diff(cadena_1.ts, lag = 4))
133 ##
134
135 diff.cadena_2.ts.4<-diff(cadena_2.ts, lag = 4)
136 autoplot(diff.cadena_2.ts.4, ts.colour = "red")
137
138 diff.cadena_3.ts.4<-diff(cadena_3.ts, lag = 4)
139 autoplot(diff.cadena_3.ts.4, ts.colour = "red")
140
141
142 ##-----START TESTS TS
143 # Test ADF
144 # Ho: Existe raiz unitaria, no es estacionaria
145 # Ha: No existe raiz unitaria, es estacionaria

```

```

146 adf.test(diff.cadena_1.ts.4)
147 ## 0.08002    No se puede rechazar la hipotesis nula
148
149 adf.test(diff.cadena_2.ts.4)
150 ## 0.08938    No se puede rechazar la hipotesis nula
151
152 adf.test(diff.cadena_3.ts.4)
153 ## 0.1646     No se puede rechazar la hipotesis nula.
154
155 # Test KPSS
156 # Ho: Es estacionaria alrededor de una tendencia determinista
157 # Ha: Existe raiz unitaria, no es estacionaria
158 kpss1<-kpss.test(diff.cadena_1.ts.4)
159 kpss1$p.value
160 # 0.01       Se rechaza la hipotesis nula
161
162 kpss2<-kpss.test(diff.cadena_2.ts.4)
163 kpss2$p.value
164 # 0.01       Se rechaza la hipotesis nula
165
166 kpss3<-kpss.test(diff.cadena_3.ts.4)
167 kpss3$p.value
168 ## 0.1       Se acepta la hipotesis nula
169 ##-----END TESTS TS
170 ##-----END PROCESS DATA
171
172
173 ##-----START ARIMA MODEL
174 ##-- CREATE MODEL
175 # (X,X,X) Parte no Estacional (X,X,X) Parte estacional del modelo [
176 # X] Frecuencia
177
178 modelArima <- auto.arima(cadena_1.ts, stepwise = FALSE,
179 approximation = FALSE)
180
181 modelArima
182 # ARIMA(1,0,0)(2,1,0)[4] con tendencia, y que arroja un AIC=-160.39
183
184 ##-- TEST MODEL
185 # Ho: Los datos se distribuyen de forma independiente, las
186 # correlaciones
187 # en la poblaci n de la que se toma la muestra son 0.
188 # Ha: Los datos no se distribuyen de forma independiente.
189 # Test de Box-Pierce
190 Box.test(modelArima$residuals) # 0.966    Ho
191
192 # Test de Ljung-Box
193 Box.test(modelArima$residuals, type="Ljung-Box") # 0.9645    Ho
194
195 # Ho: Hay distribucion normal en los residuos, la asimetr a y el
196 # exceso de curtosis
197 # son nulos (asimetr a = 0 y curtosis = 3)
198 # Test de Jarque-Bera
199 jarque.bera.test(modelArima$residuals) # 0.8863 Ho
200
201 # Ho: La distribuci n de residuos no es normal.
202 # Test de Shapiro-Wilk

```

```

198 shapiro.test(modelArima$residuals) # 0.5031 Ho
199
200 ##-- MAKE PREDICTION
201 forecast <- forecast(modelArima, level = c(95), h = 4)
202 autoplot(forecast)
203 ggtsdiag(modelArima)
204 autoplot(acf(forecast$residuals, plot = FALSE))
205 autoplot(pacf(forecast$residuals, plot = FALSE))
206
207 forecast$method
208 forecast$fitted
209 forecast$residuals
210
211 y_cadena_1 <- as.data.frame(forecast$mean)
212 y_cadena_1$x
213 ##-----END ARIMA MODEL
214
215
216 ##-----START MODELS
217 # Modifico los nombres para trabajar con el script facilmente
218 colnames(datos) <- c("date", "value", "value2", "value3")
219
220 data <- datos[1:2]
221 data <- data[17:50,]
222 # Para utilizar graficos dinamicos de plotly en ggplot
223 interactive <- TRUE
224
225 # Trabajar los periodos como date
226 # data$date <- as.yearqtr(data$date, format = "Q%q/%y")
227 data$date <- as.Date(as.yearqtr(data$date, format = "Q%q/%y"), frac
  = 1)
228 class(data$date)
229
230 # Visualizamos la serie temporal de forma dinamica
231 data %>%
232   plot_time_series(date, value, .interactive = interactive)
233
234 data %>%
235   tk_tbl(rename_index = 2008) %>%
236   plot_acf_diagnostics(
237     .date_var = date,
238     .value     = value,
239     .lags      = 20,
240     .show_white_noiseBars = TRUE,
241     .interactive = FALSE
242   )
243
244 ##-- STEP 1: SPLIT DATA
245 splits <- initial_time_split(data, prop = 0.8)
246
247 ##-- STEP 2: BUILD MODELS
248 # 1- ARIMA REG
249 model.arimaReg <- arima_reg() %>%
250   set_engine(engine = "auto_arima") %>%
251   fit(value ~ date, data = training(splits))
252 model.arimaReg

```

```

253 # ARIMA(0,1,0)(1,1,0)[4] AIC=-123.45 AICc=-122.82 BIC=-121.27
254
255 # 2- ARIMA BOOST
256 model.arimaBoost <- arima_boost(
257   min_n = 2,
258   learn_rate = 0.015
259 ) %>%
260   set_engine(engine = "auto_arima_xgboost") %>%
261   fit(value ~ date, data = training(splits))
262 model.arimaBoost
263 # ARIMA(0,1,0)(1,1,0)[4] AIC=-123.45 AICc=-122.82 BIC=-121.27
264
265 # 3- ETS
266 model.ets <- exp_smoothing() %>%
267   set_engine(engine = "ets") %>%
268   fit(value ~ date, data = training(splits))
269 model.ets
270 # AIC -133.7518 AICc -127.8571 BIC -124.6810
271
272 # 4- PROPHET
273 model.prophet <- prophet_reg() %>%
274   set_engine(engine = "prophet") %>%
275   fit(value ~ date, data = training(splits))
276
277 # 5- LINEAL REGRESSION
278 model.lm <- linear_reg() %>%
279   set_engine("lm") %>%
280   fit(value ~ year(date), data = training(splits))
281
282 # 6- MARS
283 model_spec_mars <- mars(mode = "regression") %>%
284   set_engine("earth")
285 recipe_spec <- recipe(value ~ date, data = training(splits)) %>%
286   step_date(date, features = "month", ordinal = FALSE) %>%
287   step_mutate(date_num = as.numeric(date)) %>%
288   step_normalize(date_num) %>%
289   step_rm(date)
290
291 model.mars <- workflow() %>%
292   add_recipe(recipe_spec) %>%
293   add_model(model_spec_mars) %>%
294   fit(training(splits))
295
296 ##-- STEP 3: CREATE MODEL TABLE
297 models_tbl <- modeltime_table(
298   model.arimaReg,
299   model.arimaBoost,
300   model.ets,
301   model.prophet,
302   model.lm,
303   model.mars
304 )
305 models_tbl
306
307 ##-- STEP 4: CALIBRATION

```

```

308 # Calibramos para determinar los intervalos de confianza y metricas
    de
309 # precision. Estos son predicciones y residuales que se calculan a
    partir de los
310 # datos de testing
311 calibration_tbl <- models_tbl %>%
312   modeltime_calibrate(new_data = testing(splits))
313
314 calibration_tbl
315
316 ##-- STEP 5: TEST MODELS
317 # Visualizamos: Forecast vs Test Dataset
318 # Evaluamos la prueba. Nivel de precision
319 calibration_tbl %>%
320   modeltime_forecast(
321     new_data = testing(splits),
322     actual_data = data
323   ) %>%
324   plot_modeltime_forecast(
325     .interactive = interactive
326   )
327
328 # Probar modeltime_accuracy para recolectar metricas comunes
329 calibration_tbl %>%
330   modeltime_accuracy() %>%
331   table_modeltime_accuracy(
332     .interactive = interactive
333   )
334
335 # MAE Media de error absoluto
336 # MAPE Porcentaje de Media de error absoluto
337 # MASE Media de error absoluto a escala
338 # SMAPE Media de error absoluto simetrica
339 # RMSE Raiz media de error cuadratico
340 # RSQ error cuadratico
341
342
343 # STEP 6: REFIT WITH FULL DATA
344 # Paso 6: Reajustar al dataset completo y preveer el alcance
345 refit_tbl <- calibration_tbl %>%
346   modeltime_refit(data = data)
347 refit_tbl %>%
348   modeltime_forecast(actual_data = data) %>%
349   plot_modeltime_forecast(
350     .legend_max_width = 25,
351     .interactive = interactive
352   )
353 ##-----END MODELS

```